

Devoir en temps limité 7 - 22 mars 2014 :

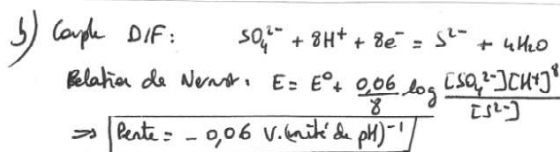
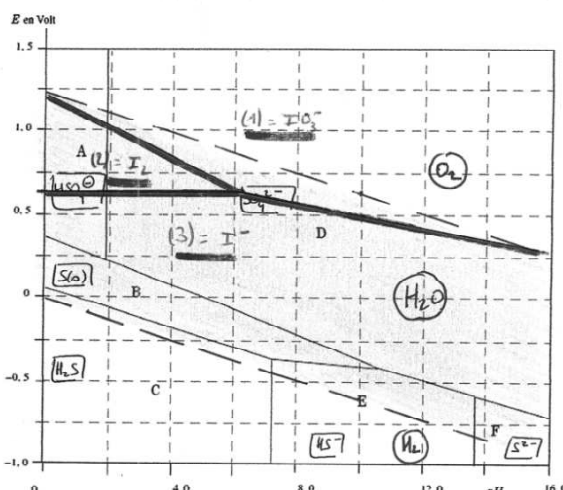
**Diagrammes E-pH, Electrolyse
Spectroscopies
Chimie organiques**

① MÉTHODES DE TITRAGEI-Titrage des ions soufre.I-1- Diagramme E-pH du soufre.

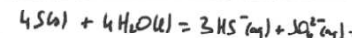
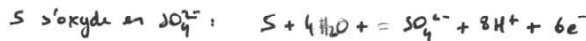
$\text{NO}(\text{s})$	Spécies
+ VI	$\text{HSO}_4^- \text{ et } \text{SO}_4^{2-}$
0	$\text{S}(\text{s})$
- II	$\text{H}_2\text{S}, \text{HS}^-, \text{S}^{2-}$

Argument 1: à pH donné, les espèces sont rangées par NO(s) croissant quand E augmente

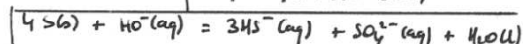
Argument 2: dans 1 couple AIB, le domaine de stabilité de la base est à droite de la frontière, celui de l'acide, à gauche.



① unité de la pente:
 $= \frac{\text{unité de l'ordonnée}}{\text{unité de l'abscise.}}$ ①

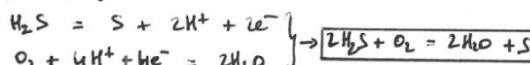
② Dissociation du soufre en SO_4^{2-} et HS^- 

Soit en milieu basique ($\text{pH} > \text{pH dissociation}$)



le soufre se dissout.

② les domaines de stabilité de H_2S et O_2 sont disjoints: les espèces réagissent ensemble

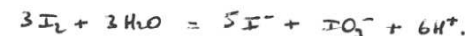
I-2 Diagramme E-pH de l'iode.

② méthode identique à celle décrite en I-1-a.

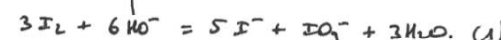
③ Voir page précédente.

I-3 Titrage des ions sulfure.

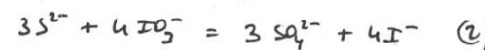
④ 1^{er} étape = dissociation du diiode



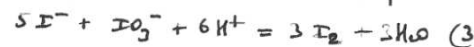
(s milieu basique)



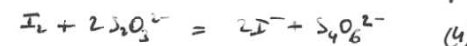
2^{eme} étape: réaction totale entre S^{2-} et IO_3^- en excès (domaine disjoint).



3^{eme} étape: médiannulation de IO_3^- et I^- en milieu acide (domaine disjoint).



4^{eme} étape: titrage par vers $\text{S}_2\text{O}_3^{2-}$ du diiodoformé.



⑤ à l'équivalence du titrage final,

$\text{I}_2 \text{ dosé} = \frac{n_{\text{S}_2\text{O}_3^{2-} \text{ versé}}}{2} = 2.1 \cdot 10^{-3} \text{ mol.}$

S(s) est un donneur qui se termine par 1 "onc". L'ajout de soude augmente le pH au-delà des limites du domaine d'existance de $\text{S}(\text{s})$: il réagit avec lui-même.

pH limite du domaine d'existance de $\text{S}(\text{s})$ est environ 10.

$\text{S}(\text{s})$ est responsable du trouble.

C'est nécessairement IO_3^- qui est en excès car on va tirer (donc détruire totalement) les ions sulfure.

D'après (3), $\text{I}_{\text{L}}^{\text{formé}} = 2 \text{ I}_{\text{O}_3^-}$ excédentaire = I_{L} dosé

or $\text{I}_{\text{O}_3^-}$ formé par (4) = $\text{I}_{\text{O}_3^-}$ excédentaire + $\text{I}_{\text{O}_3^-}$ ayant réagi en (2) avec S^{2-}

$$\frac{\text{I}_{\text{L}}^{\text{introduit}}}{3} = \frac{\text{I}_{\text{L}}^{\text{dosé}}}{3} + \frac{4}{3} \text{ I}_{\text{S}^{2-}}$$

$$\text{or } \text{I}_{\text{L}}^{\text{introduit}} = 2,0 \cdot 10^{-3} \text{ mol} \Rightarrow \boxed{\text{I}_{\text{S}^{2-}} = \frac{1}{4} (\text{I}_{\text{L}}^{\text{introduit}} - \text{I}_{\text{L}}^{\text{dosé}})} \\ \text{I}_{\text{S}^{2-}} = 2,2 \cdot 10^{-4} \text{ mol.}$$

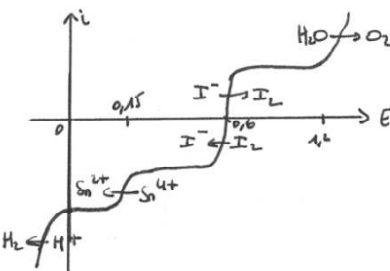
Cette quantité d'ions sulfure était dans 20 mL de la solution.

$$\Rightarrow [\text{S}^{2-}] = \frac{\text{I}_{\text{S}^{2-}}}{V_{\text{sol}}} = \frac{2,2 \cdot 10^{-4}}{20 \cdot 10^{-3}} \Rightarrow \boxed{[\text{S}^{2-}] = 1,1 \cdot 10^{-2} \text{ mol/L}}$$

II - Titrage des ions sulfure Sn(II) par potentiométrie.

II.1 - Etude de courbes intensité-potential.

(a) La courbe enregistrée présente plusieurs vagues correspondant à des oxydations ou réductions.



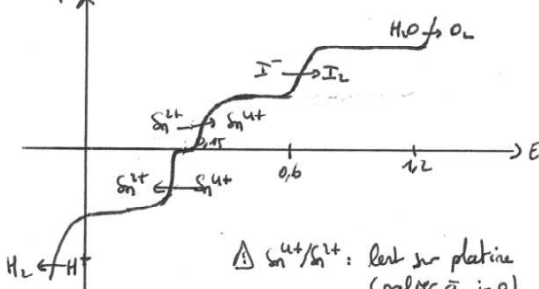
L'intensité mesurée correspond à la somme des intensités relatives aux vagues dues à chaque couple.

Attribute facile de façon grossière à partir des valeurs de potentiels standard.

Si les solutions n'étaient pas des mélanges, on observerait des vagues indépendantes (sauf par les murs du solvat).

On remarquera les paix de diffusion apparaissant lors de l'espèce électroactive et le solvat.

Rq: l'enoncé laisse à penser que l'oxydation de H_2O n'est pas à considérer: bizarre... qd le solvant est l'eau. (3)



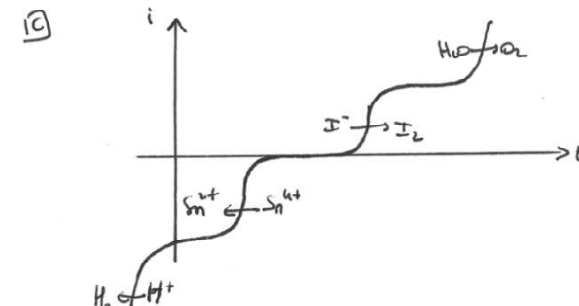
Des tableaux d'avancement peuvent aider à retrouver ces relations. Il faut en revanche bien identifier les réactions limitées par charge à chaque étape:

(1): I_{L} (2): IO_3^-

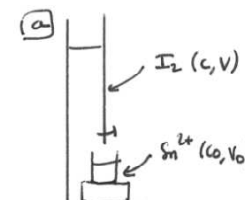
(3): S^{2-} (4): I_2

C'est la qt de réactif limitant qui fixe celle des produits d'une réaction totale.

① Vérifier qu'on retrouve l'ordre de grandeurs indiqué dans l'enoncé.

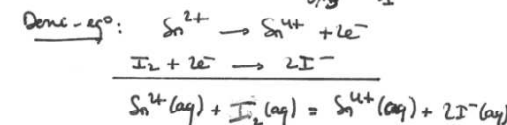
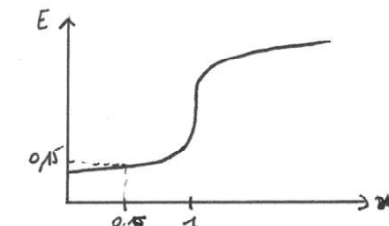


II-2 - Titrage par svivi potentiométrique (à courant nul)



I_2 n'est pas oxydant.

⇒ Son introduction dans le milieu augmente le potentiel de la solution.



A l'équivalence, Sn^{2+} à doser = I_2 versé

$$\text{ici: } cV_0 = cV_{\text{eq}}$$

L'équivalence correspond donc à $x=1$ ($V=V_{\text{eq}}$).

A la demi-equivalence, $x=0,5$: la moitié de Sn^{2+} a été transformée en Sn^{4+} ⇒ $\text{Sn}^{2+} = \text{Sn}^{4+} = \frac{\text{Sn}^{2+} \text{ initial}}{2}$
 $\Rightarrow [\text{Sn}^{4+}] = [\text{Sn}^{2+}] = \frac{cV_0}{2V_{\text{tot}}}$.

$$\text{or } E = E_{\text{Sn}^{4+}/\text{Sn}^{2+}}^{\circ} + 0,03 \log \frac{[\text{Sn}^{4+}]}{[\text{Sn}^{2+}]} = E^{\circ}/\text{Sn}^{4+}/\text{Sn}^{2+}$$

$$E(x=0,5) = E^{\circ}/\text{Sn}^{4+}/\text{Sn}^{2+} = 0,15 \text{ V}$$

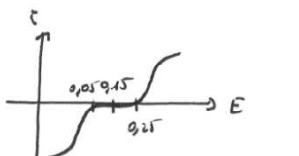
En TP, on réalise des svivi potentiométrique à courant nul. Le potentiomètre est un millivoltmètre : sa résistance interne est si grande qu'il peut traverser les électrodes pour être considéré comme négligeable.

(5) Avant l'équivalence, le potentiel n'est pas éloigné de la valeur calculée à la section précédente.

D'après les courbes $i-E$, il n'y a pas unicité du potentiel pr $i=0$ et E compris entre $0,05V$ et $0,25V$

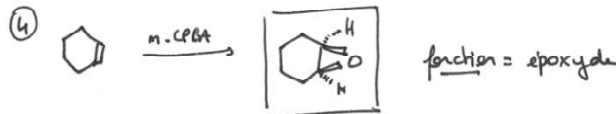
potentiométrie
à courant nul
 $0,15 \pm 0,10$ (surtermes)
(E proche de E° calculé)

\Rightarrow stabilisation impossible

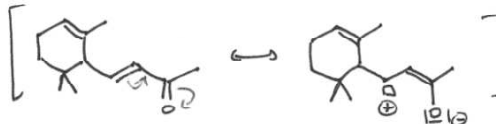


(zoom sur courbe du 5 presque avant l'équivalence la bûche contient S_2^+ , S_1^- et I^-). (i limitant pour équivalence)

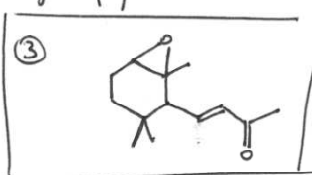
2 - SPECTROSCOPIES (CCP 2010)



(5) L'ionone agit comme nucléophile : la double liaison la + réactive et la plus riche en e^- .



La double liaison non délocalisée et enrichie par le groupe $-CH_3$ donneur est la plus riche en e^- : c'est elle qui réagira préférentiellement :



L'autre double liaison participant à 1 système conjugué soit des e^- π délocalisés, donc moins présents sur le côté de la double liaison.

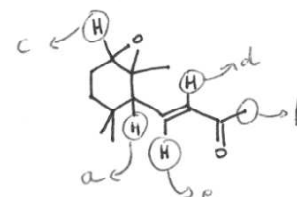
(6)

Bandes	Attributions (élongation)
2960 cm^{-1}	C-H
1680 cm^{-1}	C=O conjugué
1630 cm^{-1}	C=C conjugué
1220 cm^{-1}	C-O rotule cyclique

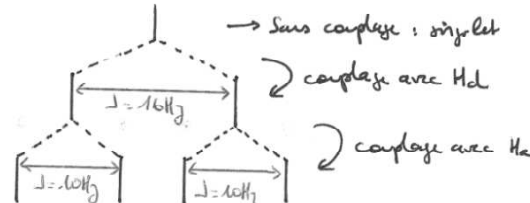
	δ	Int	Multiplicité
a	2,1	1	Doublet ($J=10\text{ Hz}$)
b	2,2	3	Singulet
c	3,6	1	Triplet
d	6,0	1	Doublet ($J=16\text{ Hz}$)
e	6,7	1	

les déblindages d'
= portés
par C=C

H_a et H_b ne sont pas couplés : les constantes de couplage sont différentes.



(7) Le H_e donne 1 signal complexe (couplage AMX). Il est couplé avec avec 1 H_a ($J=10\text{ Hz}$) et 1 H_d ($J=16\text{ Hz}$)



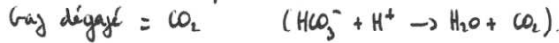
\Rightarrow obtenir un doublet de doublets.

(8) CCP: migration à travers différents de composés depuis une phase stationnaire (phase) entraînés par une phase mobile (éluat) les forces intermoléculaires d'interactions différents stabilisées par les composés avec chacune des 2 phases expliquent les différences de temps de migration

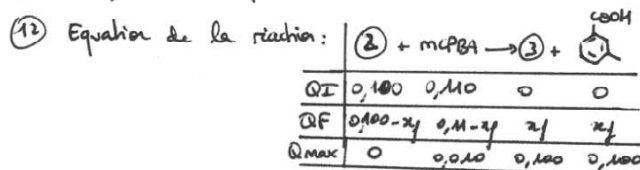
- Protocole :
- 1) saturer le wve en éluat.
 - 2) dipôles de diamètres étroits
 - 3) migration
 - 4) Révélation (UV ou chaleur)
 - 5) Explication (calcul rapports fantaisie)

(9) le dichlorométhane, solvant organique, permet de récupérer les traces du composé (3) prélevé au sein de l'acide solide.

- (10) L'hydrogénocarbonate de sodium est un base : il réagit avec l'acide nitrochloroacrylique pour obtenir la forme basique $R-COO^-$ hydrolysable.
 → démonstration des traces de cet acide de la phasse organique.

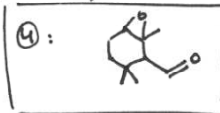


- (11) Evaporateur rotatif -



Rendement $\rho = \frac{x_1}{x_{\text{max}}} = \frac{0,085}{0,100} = 85\%$

- (13) Couleur oxydante de la double liaison C=C par oxydation en présence d'un réducteur :

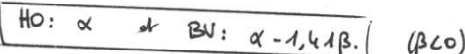


- (14) Formule négative de O_3 :



bianéthie cardée dérivée de l'environnement trigonal plan.

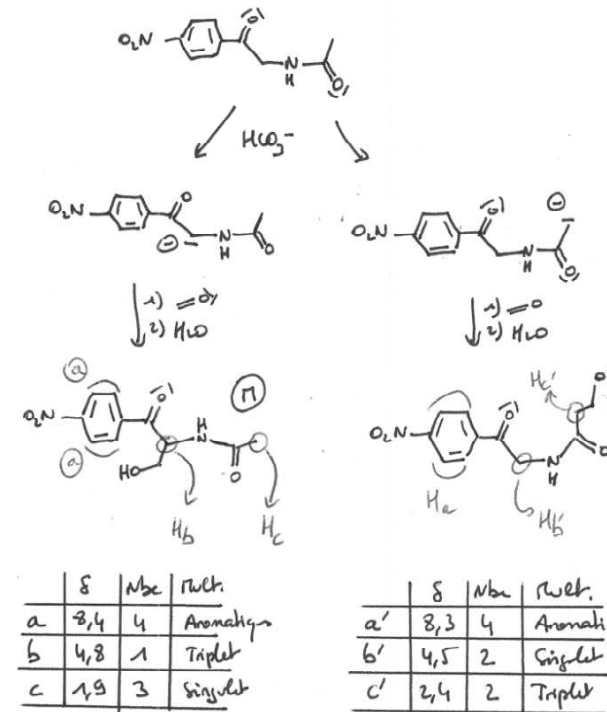
- (15) Les flèches des formules négatives prouvent la délocalisation de 2 doublets = 4 électrons π .



- (16) L'écart en énergie HO-BV est minimisé par le couple [HO de l'opac et BV de l'éthene].

3- SPECTROSCOPIES (E3A - 2012)

HCO_3^- sert à déprotoner le composé en α d'un carbonylé (2 sites possibles). L'ionate s'additionne ensuite sur le méthanol.



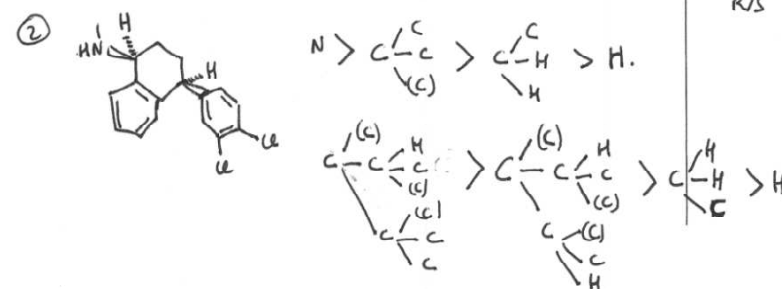
Rq: le signal du H porté par le C au pied de -OH donne un signal à plus haut δ que le signal c ou c' car la proximité directe de O amène un fort effet de bidentat.

Expl.: $-CH_2-OR$
 \Rightarrow de 3 à 4 ppm.

4- SYNTHÈSE D'ANTI-DÉPRESSEURS

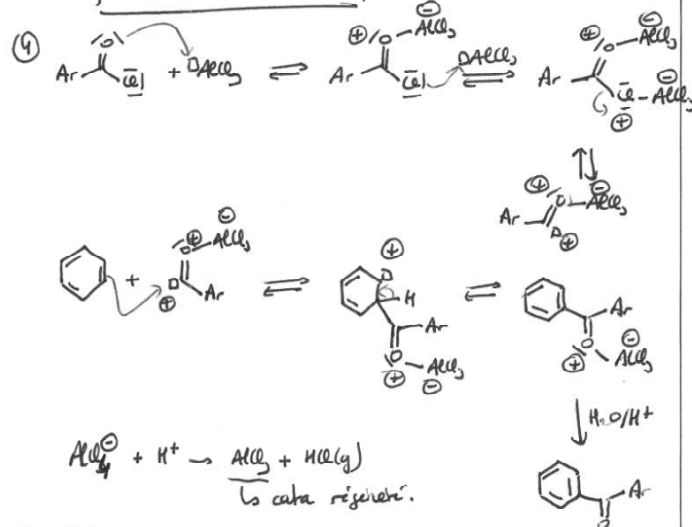
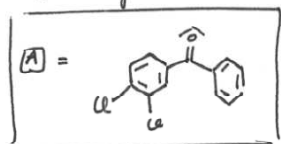
I/ Synthèse de la sertraline.

- ① $2 C^+$ et aucun élément de symétrie \Rightarrow 4 stéréoisomères de configuration



$4 = 2 \times 2$ (2 possibilités)
 $\downarrow \quad \downarrow$ R/S R/S indépendants
 par chaque C^+ .

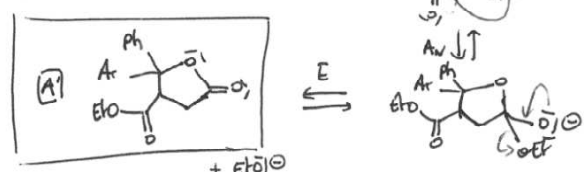
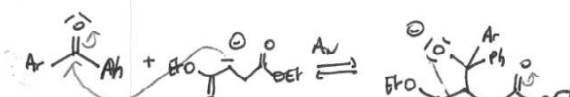
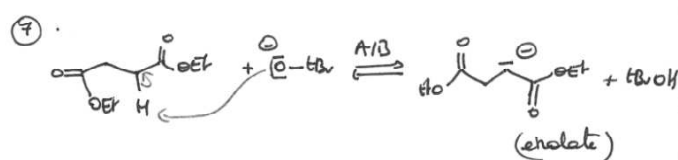
③ Acylation du Friedel-Crafts.
Montage à reflux.



⑤ Alles se lie an grüne carbonyl

\Rightarrow un excès est nécessaire pour qu'il en reste suffisamment pour empêcher le dépôt de Cl.

⑥ l'hydrolyse acide permet d'hydrolyser le complexe entre O et Al \Rightarrow obtention de la catione libre de l'al

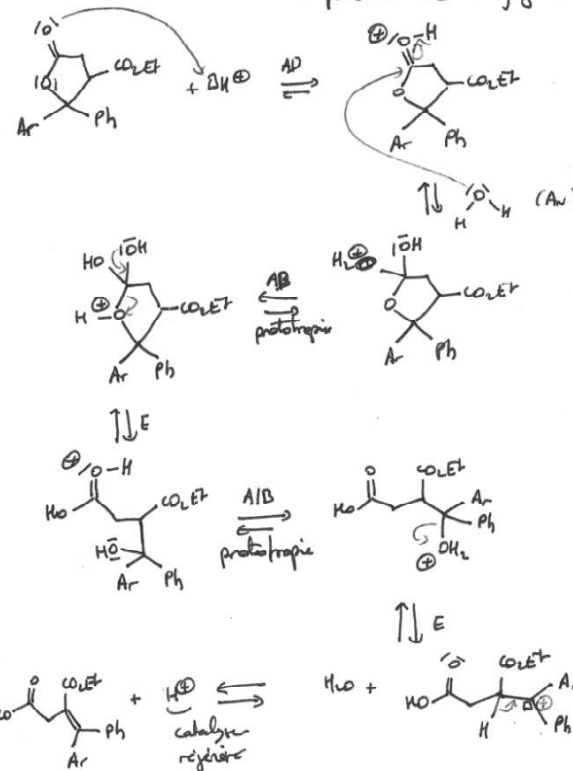


A) addition d'un anisolephil
sur un ester : mélange $\text{Ar} + \text{Et}_2\text{O}$
(et surtout pas de H_2)

Rg: cycles à 6 atoms très rares
car peu stables (trois fois
de cycle trop importants)

9

⑧ Réaction en 2 temps : - hydrolyse acide de l'ester
- élimination (déshydratation) de l'alcool d'autant + favorable que la composé B présente 1 cordon



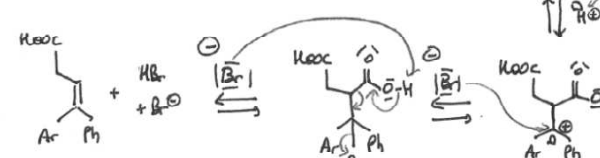
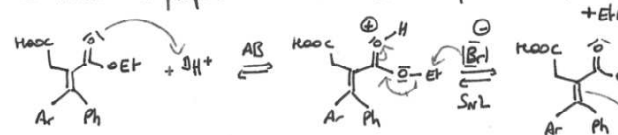
1 Pour à activer le fourrier est avant de lui additionner du nécophile moyen contre l'eau.

l'élément de l'acide selon
le mécanisme E1 et
envisageable pris que la
carboxylation et stabilisé
(par perte de 2 cycles
aromatiques \Rightarrow délocalisation)

⑨ Il y a 1 décarboxylation : dégagement de CO₂.

⚠ qshar hos programme

Le mécanisme proposé est une inversion ponctuelle

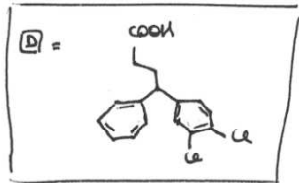


A hors-programme
et question trop per aidée.
(je n'en suis rendu compte
trop tard).

Analogie avec synthèse maléique,
la décarboxylation nécessite de
former préalablement 1 acide
carboxylique.

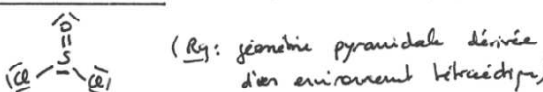
carbocation stabilisé par délocalisation car au pied des 2 cycles aromatiques.

10 Hydrogénéation de la double liaison :

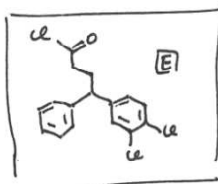
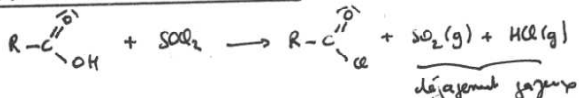


11 Ici, la réaction n'est pas stééroselective : elle ne forme qu'un seul carbono asymétrique \Rightarrow 2 isomères : R et S les 2 faces de la double liaison étant également accessibles il y a équivalibilité des approches
 \Rightarrow autant de R que de S \Rightarrow pas de sélection.

12 Nbre d'e. valence : $6+6+2\times 7=26 \Rightarrow 13$ doublets

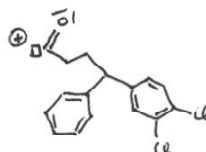


Formation d'un chlorure d'acyle :



13 - Cl_2 ($\beta=\gamma=\delta$) est apolaire \Rightarrow doit bien solubiliser la molécule E.

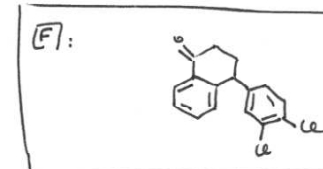
- Il y a une $\text{S}\equiv\text{N}$: Allyl est à former l'ion allylium par dépol du Cl sur le chlorure d'acyle



- Pourrait réagir avec les 2 cycles mais le cycle portant les atomes de chlore est désactivé par rapport au cycle de droite activé par chaîne carbonée

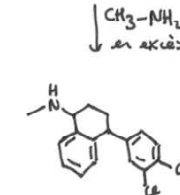
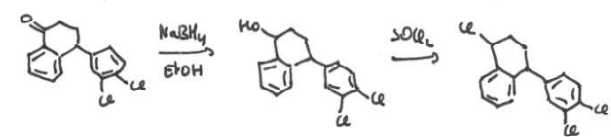
- Enfin, le groupe carboné porté par le cycle de gauche oriente les nouveaux groupes en position ortho ou para conduisant à
 1 cycle à 6 atomes \Rightarrow instable

De façon générale, les cycles à 5 et 6 atomes sont les plus fréquemment rencontrés car les plus stables.



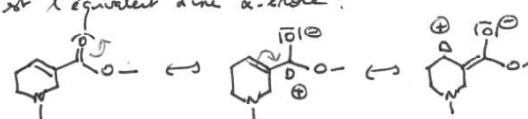
14 Pour sortir dans la limite du programme, on peut proposer dans le sens anti-chimiotogique

- introduire l'azote par un d's amine sur 1 d'én halogéné
- obtenir le dérivé halogéné à partir d'un alcool.
- former l'alcool par réduction de la cétone.

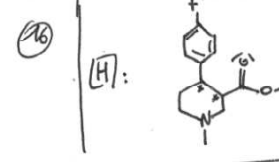


Synthèse de la peroxéthine.

15 G est l'équivalent d'une α -chole :

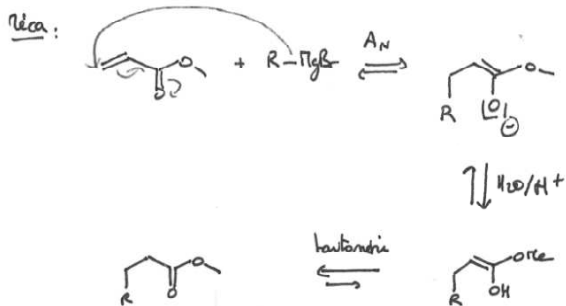


2 sites électrophiles : - C fonctionnel de l'ester
 - C portant la charge de la 3ème forme mesomère.



16

16



- (17) La réaction forme $2 \times 2^*$ représentés par * sur le schéma précédent.
Le motif α -éthoxy était plan, il y a équivalente d'approche par les 2 faces (car elles sont d'encombrement équivalent)
 \Rightarrow tous sont obtenus \Rightarrow il y a 4 stéréoisomères de config.

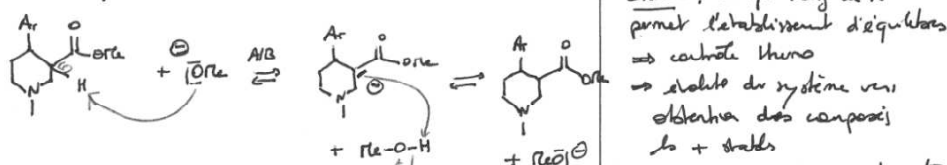
(18) Pyrrolidate : base très forte $\xrightarrow{\text{gauche}}$ (corrosif) $\xrightarrow{\text{droite}}$ (luminesc.).

Benzene : volatil et corrodant \rightarrow honte

(19) Isomères trans:

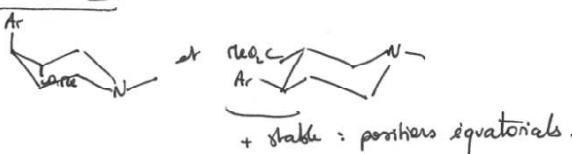


- (20) Existence d'1 H acide en présence du groupe azoté.
Le solvant (méthanol) est prothion : il permet la reprotoxination après la déprotection.



- (21) Isomères trans plus stables que cis (contrôle thermo de la sélectivité)

(22) Chaires par T1:



$2C^*$ et absence de plan de symétrie sur le Cien entre les configurations
 $\Rightarrow 2 \times 2 = 4$ stéréo. confis.

Trans \rightarrow les 2 groupements pointent sur le cycle pourtant des directions opposées : l'un vers le dessus et l'autre vers le dessous

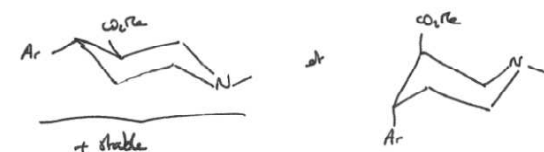
Intérêt : le type long de R⁺ permet l'établissement d'équilibres.
 \Rightarrow contrôle thermo
 \Rightarrow équilibre du système vers stabilité des composés
la + stable

Ce trans, car moins de contraintes stériques que des composés cis).

La position du méthyle sur N ne compte pas : cet atome présente un phénomène d'inertie avec une fréquence importante.

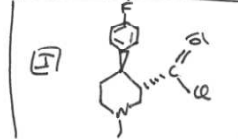
(13)

Chaises par T2:



- (23) Il y a hydrolyse de l'ester.

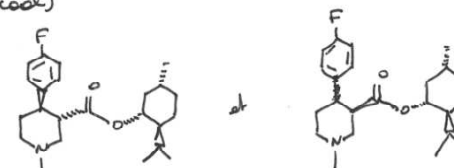
Cette réaction étant limitée, on déplace l'équilibre en détruisant 1 produit du réacteur \Rightarrow déplacement d'équilibre.



I résulte de l'action de SO_2 sur l'acide carbonylique obtenu.

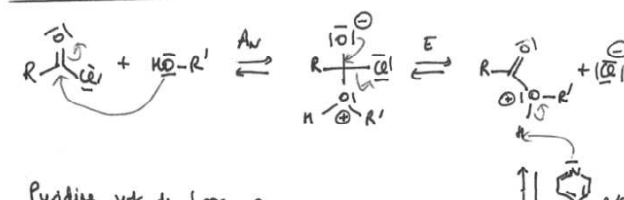
- (24) (-) signifie lévogyre.

- (25) Il y a stéréofacialité entre le chlorure d'argyle et le menthol (alcool)



Ce sont 2 diastéréoisomères (J)

(26) Flica astérophile



Pyridine est une base pour déproteger le composé et obtenir l'info.

On écrit aussi de former HCl , gaz toxique

- (27) Les 2 isomères du liquide sont diastéréoisomères, ils n'ont pas les mêmes physiques, en particulier la même température de froid.

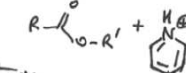
(1) lors de l'intervention, 1 groupe pointant vers le haut de la 1^{ère} chaîne, pointé vers le haut de la 2^{ème}. En recherche, le caractère axial ou équatorial de la liaison à chargé.

c'est le produit le + stable qui est a priori distillé. Malencontreusement le méthanol (issu de l'atv) car de faible poids moléculaire par rapport à l'atv.

Intérêt du racème : ici la signification de lévogyre sur ce cela est demandé.

Une partie seulement des configurations des carbones charge d's sont composés à l'autre.

(1) Pas d'activation électrophile avec le chlorure d'acyle déjà très électrophile.



(14)

On choisit un solvant de façon que les 2 diastéréoisomères nient pas la m^e solubilité. (crystallisation fractionnée)

- Dissolution à chaud.

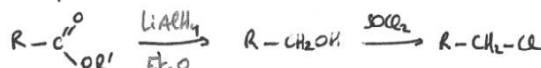
- Refroidissement lent : appariition de cristaux d'un 1^{er} solide
⇒ on isole ces cristaux.

L'autre diastéréoisomère reste en solution.

(28) Le menthol étant chiral a permis de transformer un mélange de 2 énantiomères non séparables, en un mélange de 2 diastéréoisomères séparables.

L'attribution était reversible, on peut redonner à nouveau les fonctions acides carboxyliques initiales (saponification puis réacidification).

(29) Il faut réduire l'ester pour obtenir un alcool, puis transformer l'alcool en dérivé chloré.

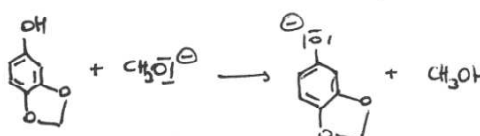


(30) Il y a d'abord formation de l'ion méthanolate par action du sodium sur le méthanol

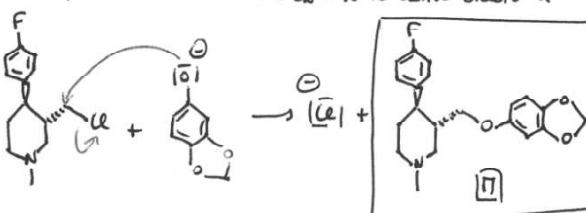


↳ dégagement gazeux.

Ensuite, cette base forte (méthanolate) déprotone le phénol de l'



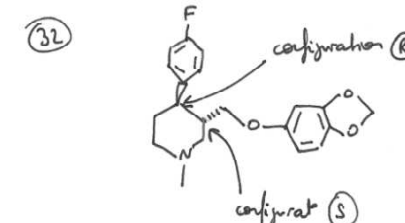
Enfin, le phénolate réalise une S_N2 sur le dérivé chloré K



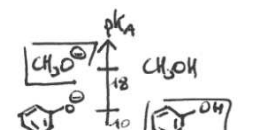
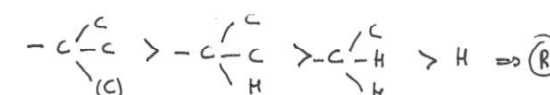
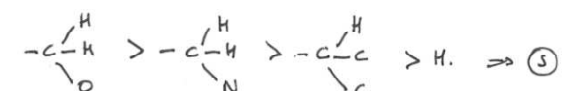
S_N2 car dérivé halogéné très accessible.
(la S_N1 nécessiterait la formation d'un carbocation primaire très instable)

(31) Réac S_N2 car dérivé halogéné avec carbone électrophile accessible (environnement relativement faible)

S_N1 impossible car nécessiterait la formation d'un carbocation primaire non stabilisé par délocalisation.



⇒ oui, c'est bien la parathiazine.



$$K_D \approx 10^{12-10} = 10^8$$

très favorable.

(15)

(16)